

## Visualisierung: 2D Skalarfelder

Andreas Kolb und Martin Lambers

computergraphik und multimedia systeme  
universität siegen

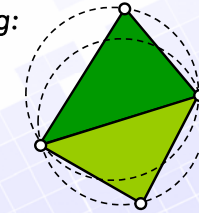
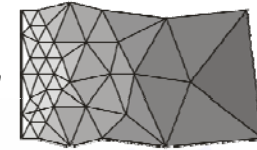


## Review: Letzte Stunde

2

### Triangulierungen:

- *Reguläre Triangulierungen*
- *Delaunay-Triangulierung*
  - Definition über Voronoi-Diagramm
  - globales und lokales Umkreis-Kriterium
- *Algorithmen zur Triangulierung:*
  - Flipping-Algorithmus
  - Inkrementeller Algorithmus
  - Divide & Conquer Algorithmus



Andreas Kolb, Martin Lambers

Visualisierung

## Review: Letzte Stunde

3

### ● *Flipping Algorithmus*

- Komplexität  $O(n^2)$
- sehr einfacher erfordert initiale Triangulierung

### ● *Inkrementeller Algorithmus*

- Komplexität  $O(n^2)$

### ● *Divide & Conquer-Algorithmus*

- Komplexität  $O(n \log n)$
- relativ kompliziert

Nicht  
besprochen

### ● *(Plane-Sweep Algorithmus)*

- Komplexität  $O(n \log n)$
- sehr kompliziert

Verwenden bei  
kleinen Netzen  
(optimal für  
 $n < 1000$ )

Verwenden bei  
großen Netzen  
(optimal für  
 $n > 100000$ )

Andreas Kolb, Martin Lambers

Visualisierung

## Triangulierungen

4

Delaunay-Triangulierung nur in 2D

- Die *Triangulierung von Oberflächen in 3D* ist bisher ungelöst!

*Mögliche Abhilfe:* Hilfsgeometrie mit ebener Parametrisierung (z.B. Ebene, Zylinder, Kugel)

- Projiziere alle Punkte auf Hilfsbeometrie
- Bestimme Triangulierung dort
- Projiziere zurück

Andreas Kolb, Martin Lambers

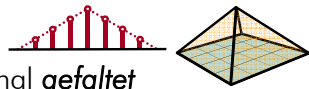
Visualisierung

## Review: Letzte Stunde

5

### Lineare Filter:

- **Filterkern** wird mit Signal *gefaltet*
- Lineare Filter entfernen bestimmte *Frequenzen* aus dem Signal
- Glättungsfilter:
  - Box-, Dreieck-, Gauss-Filter
- **Tiefpassfilter:** hohe Frequenzen werden entfernt
- **Kantenfilter:**
  - **Hochpass-Filter:** niedrige Frequenzen werden abgeschwächt



Andreas Kolb, Martin Lambers

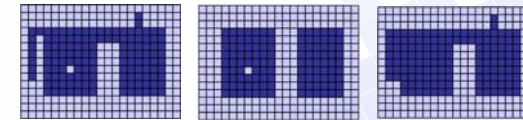
Visualisierung

## Review: Letzte Stunde

6

### Nicht-Lineare Filter:

- Keine *Faltung*, sondern beliebige nichtlineare Verknüpfung
- Rangordnungsoperationen:
  - Median-Filter: Rauschunterdrückung ohne Kantenglättung
  - Morphologische Operationen: Dilatation, Erosion, Opening, Closing

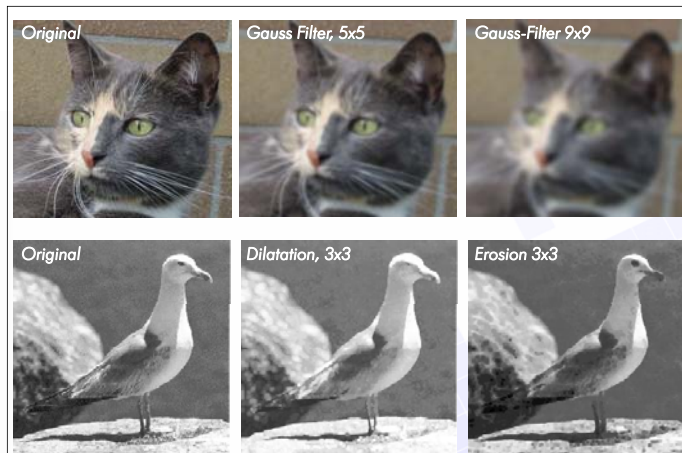


Andreas Kolb, Martin Lambers

Visualisierung

## Bildbearbeitung

7

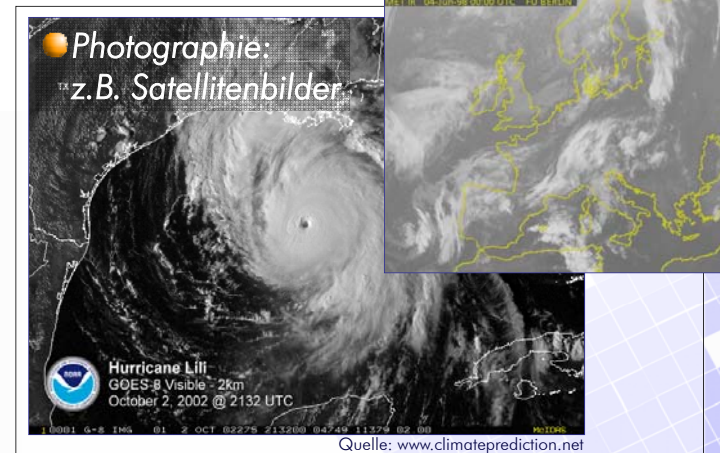


Andreas Kolb, Martin Lambers

Visualisierung

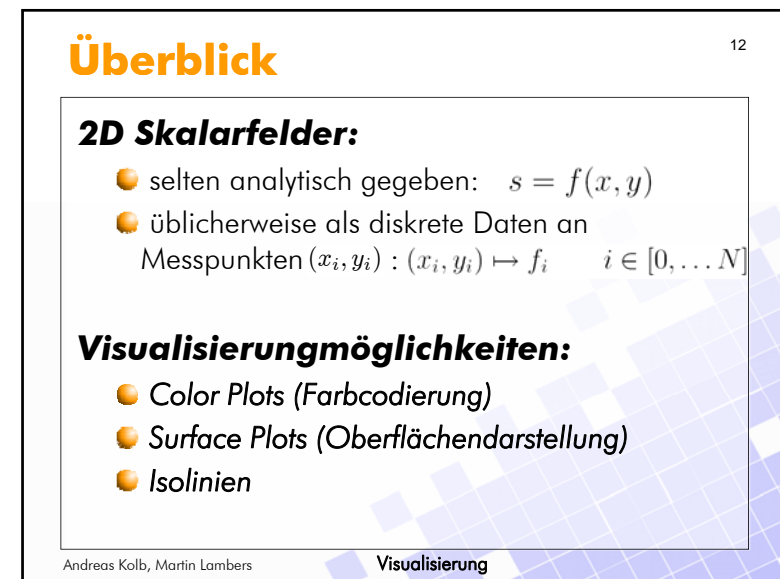
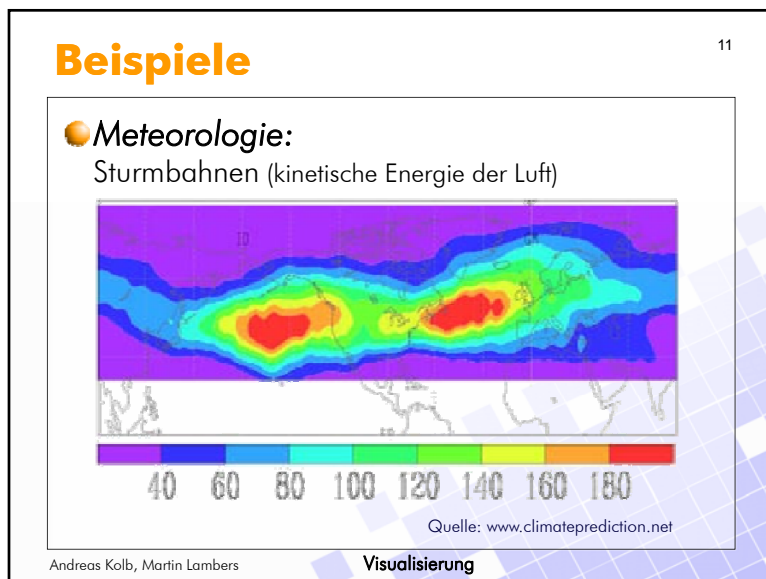
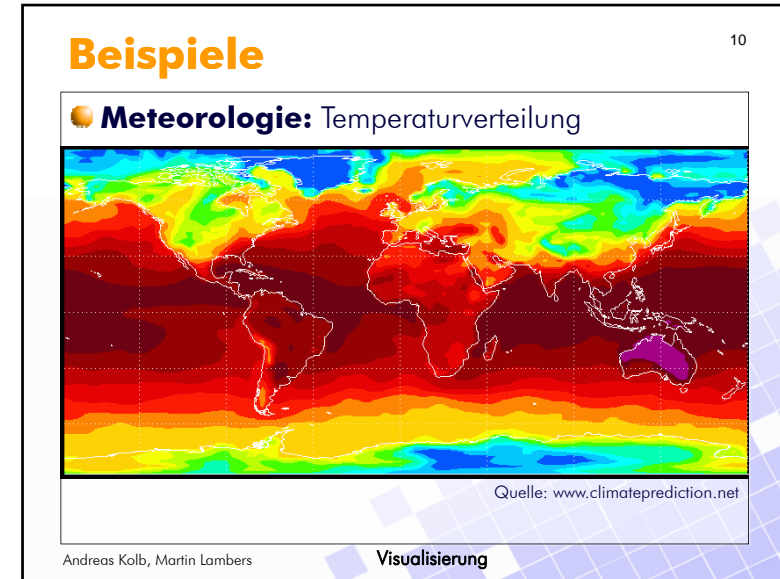
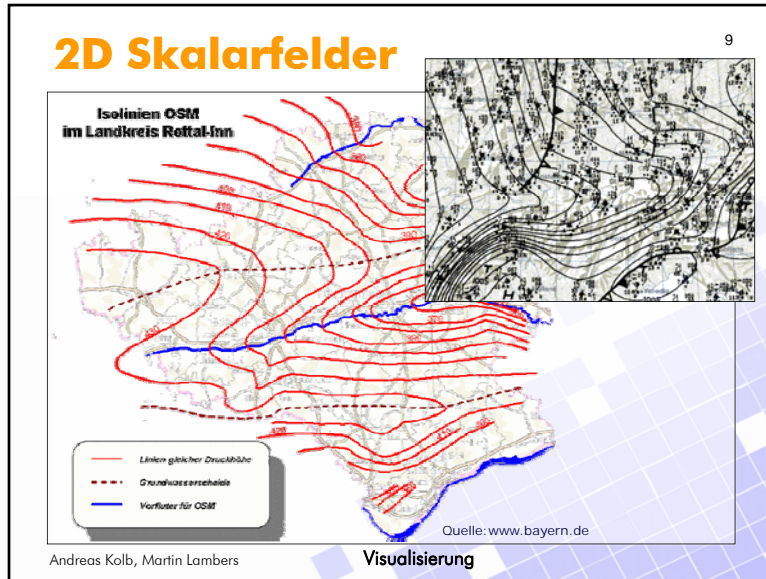
## 2D Datenbeispiele

8



Andreas Kolb, Martin Lambers

Visualisierung



## 2D Skalarfelder

13

- „2D“ heißt nicht zwangsläufig „kartesische Koordinaten“!
- 2D Skalarfelder müssen nicht **eben** sein!

**Beispiel:** Temperaturverteilung über dem Globus

Andreas Kolb, Martin Lambers Visualisierung

## 2D Skalarfelder

14

- **Beispiel:** Skalarfelder auf der Kugeloberfläche lassen sich in Polarkoordinaten (Kugelkoordinaten) parametrisieren:  $s = f(\varphi, \vartheta)$

- z.B. Längen und Breitengrad

Andreas Kolb, Martin Lambers Visualisierung

## 2D Skalarfelder

15

auf beliebigen Oberflächen in 3D

$$\begin{pmatrix} x(u, v) \\ y(u, v) \\ z(u, v) \end{pmatrix} \leftarrow (u, v) \rightarrow f(u, v)$$

$$\begin{pmatrix} x_i \\ y_i \\ z_i \end{pmatrix} \leftarrow (u_i, v_i) \rightarrow f_i$$

Andreas Kolb, Martin Lambers Visualisierung

## Farbkodierung

16

- Spezifiziere eine Farbtabelle  
d.h. eine Abbildung: Skalarwert  $s \rightarrow$  Farbwert

**Beispiel:** Gegeben 2D Druckverteilung

$$p_{\min} \leq p \leq p_{\max}$$

Lineare Abbildung im HSV-Farbmodell auf **Hue**

Hue (Farbton) = Winkel

Saturation = Abstand vom Mittelpunkt

Value = Helligkeit (Brightness)

Andreas Kolb, Martin Lambers Visualisierung

## Farbkodierung

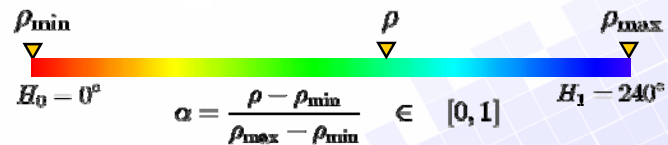
17

- Spezifiziere eine Farbtabelle  
d.h. eine Abbildung: Skalarwert  $s \rightarrow$  Farbwert

**Beispiel:** Gegeben 2D Druckverteilung

$$\rho_{\min} \leq \rho \leq \rho_{\max}$$

Lineare Abbildung im HSV-Farbmodell auf Hue



$$H(\rho) = \alpha H_1 + (1 - \alpha) H_0$$

Andreas Kolb, Martin Lambers

Visualisierung

## Colorplots

18

### Uniforme, rectilineare 2D Gitter

- trivial bei feinen Gittern:**
  - interpretiere jeden Abtastpunkt als einen Pixel
  - Die Farbe des Pixels bestimmt der Skalarwert anhand der Farbtabelle
- im allgemeinen Fall:** Rasterisierung/Interpolation

### Curvilineare und Unstrukturierte 2D Gitter:

- Rasterisierungstechniken

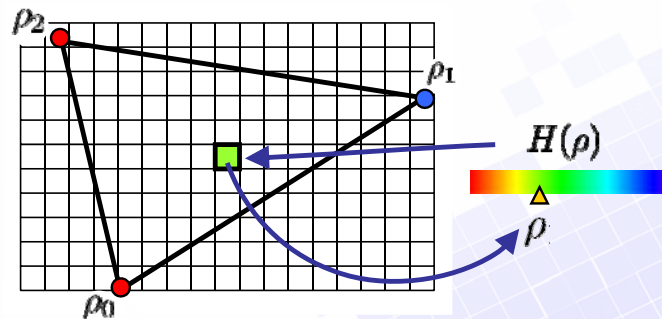
Andreas Kolb, Martin Lambers

Visualisierung

## Rasterisierung

19

- Zerlege das Dreieck in einzelne Pixel
- Interpoliere für jeden Pixel den Skalarwert
- Bestimme die Farbe des Pixels anhand des Skalarwerts



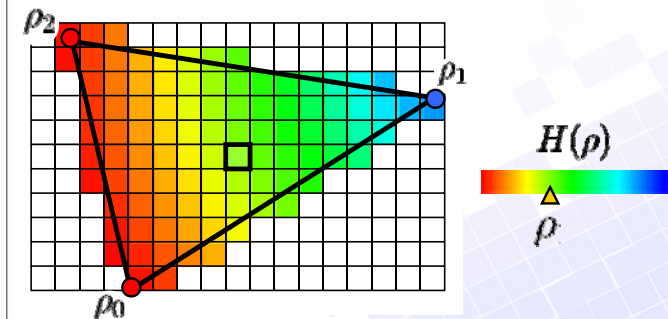
Andreas Kolb, Martin Lambers

Visualisierung

## Rasterisierung

20

- Zerlege das Dreieck in einzelne Pixel
- Interpoliere für jeden Pixel den Skalarwert
- Bestimme die Farbe des Pixels anhand des Skalarwerts



Andreas Kolb, Martin Lambers

Visualisierung

## Einfache Implementierung

21

- **Nutzung von Graphik-Hardware:**  
Hardware übernimmt die Rasterisierung der Dreiecke

Beispiel OpenGL:

```
00 glBegin(GL_TRIANGLES);
01   glColor3d(R[i], G[i], B[i]);
02   glVertex2d(x[i], y[i]);
03   glColor3d(R[j], G[j], B[j]);
04   glVertex2d(x[j], y[j]);
05   glColor3d(R[k], G[k], B[k]);
06   glVertex2d(x[k], y[k]);
07 glEnd();
```

Ergebnis: OpenGL zeichnet ein Dreieck

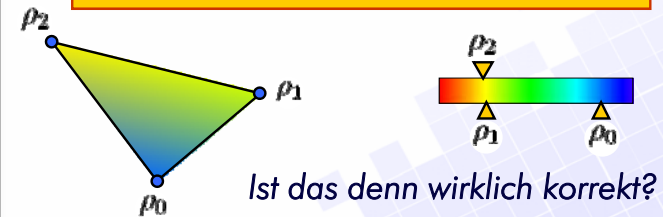
Andreas Kolb, Martin Lambers

Visualisierung

## Einfache Implementierung

22

```
00 glBegin(GL_TRIANGLES);
01   glColor3d(R[i], G[i], B[i]);
02   glVertex2d(x[i], y[i]);
03   glColor3d(R[j], G[j], B[j]);
04   glVertex2d(x[j], y[j]);
05   glColor3d(R[k], G[k], B[k]);
06   glVertex2d(x[k], y[k]);
07 glEnd();
```



Andreas Kolb, Martin Lambers

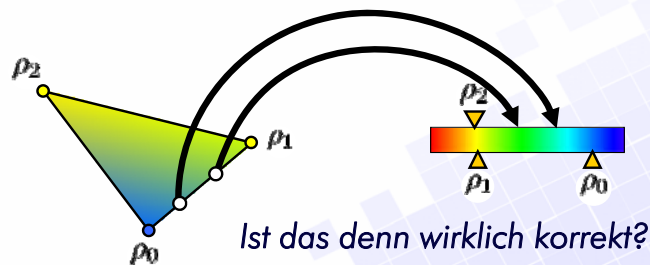
Visualisierung

## Einfache Implementierung

23

- Betrachte z.B. Punkte entlang der Kanten:

Farbinterpolation ist nicht korrekt!  
Es muss der Skalarwert interpoliert werden!



Andreas Kolb, Martin Lambers

Visualisierung

## Verbesserte Implementierung

24

- **Verwendung von 1D Texturen:**  
Speichere die Farbtabelle in einer 1D Textur:

Beispiel OpenGL:

```
00 glBegin(GL_TRIANGLES);
01   glTexCoord1d(Rho[i]);
02   glVertex2d(x[i], y[i]);
03   glTexCoord1d(Rho[j]);
04   glVertex2d(x[j], y[j]);
05   glTexCoord1d(Rho[k]);
06   glVertex2d(x[k], y[k]);
07 glEnd();
```

Andreas Kolb, Martin Lambers

Visualisierung

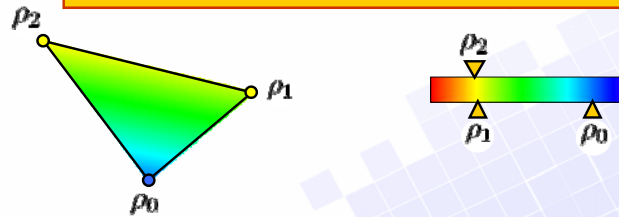
## Verbesserte Implementierung

25

```

00  glBegin(GL_TRIANGLES);
01      glTexCoord1d(Rho[i]);
02      glVertex2d(x[i], y[i]);
03      glTexCoord1d(Rho[j]);
04      glVertex2d(x[j], y[j]);
05      glTexCoord1d(Rho[k]);
06      glVertex2d(x[k], y[k]);
07  glEnd();

```



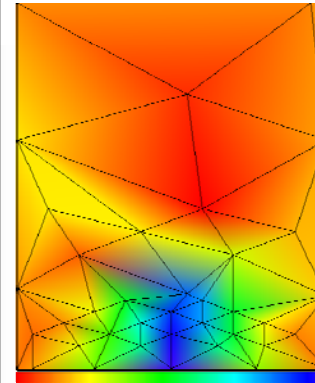
Andreas Kolb, Martin Lambers

Visualisierung

## Vergleich

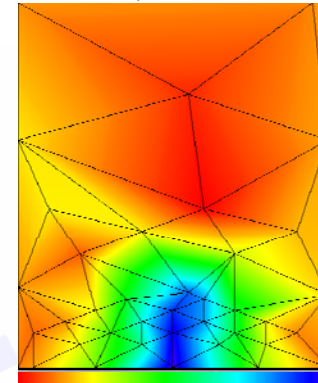
26

Farbinterpolation



Andreas Kolb, Martin Lambers

Texturinterpolation



Visualisierung

## Fazit

27

Farbkodierung von Skalarfeldern:

### ● Einfache Implementierung:

- Bestimme Farbwerte für die Eckpunkte der Zellen (mittels Farbtabelle)
- Interpoliere die Farbwerte für jeden Pixel im Inneren der Zelle

Per-Vertex  
Operations

„Gouraud-Shading“

### ● Aufwändigere Implementierung:

- Interpoliere den Skalarwert für jeden Pixel im Inneren einer Zelle
- Bestimme Farbwerte für jeden interpolierten Skalarwert (Farbtabelle)

Per-Pixel  
Operations

„Phong-Shading“

Andreas Kolb, Martin Lambers

Visualisierung

## Zusammenfassung

28

### Color Plots / Farbkodierung

- Spezifiziere eine Farbtabelle, die den Skalarwert auf einen Farbwert abbildet (= *Transferfunktion*)
- Unstrukturierte und Curvilineare Gitter müssen rasterisiert werden
- **Rasterisierung** mit Grafik-Hardware
  - Einfach aber inkorrekt: Farbinterpolation (*Gouraud*)
  - Korrekte Interpolation des Skalarwerts mit 1D Texturen

Andreas Kolb, Martin Lambers

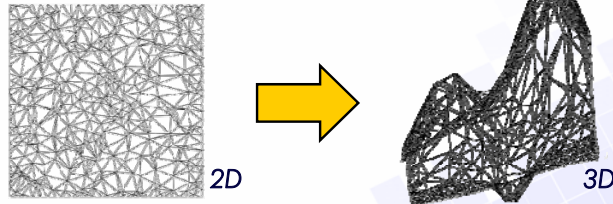
Visualisierung

## Surface Plots

29

### ● Oberflächendarstellung:

Interpretiere das Skalarfeld als Höhenfeld und zeichne eine 3D Oberfläche  $(x_i, y_i) \mapsto (x_i, y_i, z_i)$



$$\alpha = \frac{\rho - \rho_{\min}}{\rho_{\max} - \rho_{\min}}$$

$$z_i = \alpha z_{\max} + (1 - \alpha) z_{\min}$$

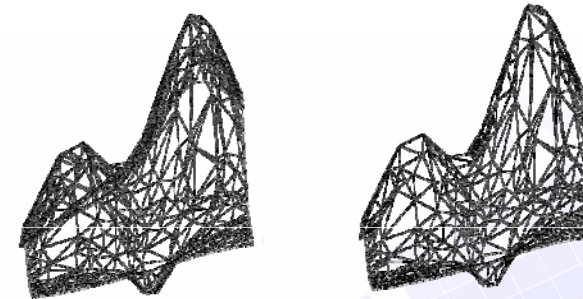
Andreas Kolb, Martin Lambers

Visualisierung

## Surface Plots

30

### ● Liniendarstellungen



„wireframe“

„hidden line removal“

Andreas Kolb, Martin Lambers

Visualisierung

## Hidden Line Removal

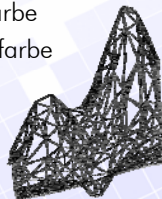
31

### HLR Algorithmen für Vektorgrafik:

- z.B. Robert's Algorithm, Appel's Algorithm  
(siehe Foley, et al: Computer Graphics, Principles and Practise)

### HLR für Rastergrafik:

- OpenGL-Tricks:
  - Zeichne die Linien in Vordergrundfarbe
  - Zeichne die Flächen in Hintergrundfarbe
  - Der Z-Buffer besorgt den Rest.  
(siehe auch `glPolygonOffset`)



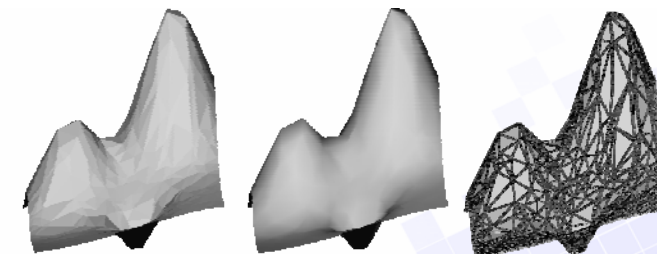
Andreas Kolb, Martin Lambers

Visualisierung

## Surface Plots

32

### ● Flächendarstellungen mit Shading (Lokale Beleuchtung)



flat shading

smooth shading  
Gouraud-ShadingKombination mit  
wireframe

Andreas Kolb, Martin Lambers

Visualisierung

## Diffuse Reflexion

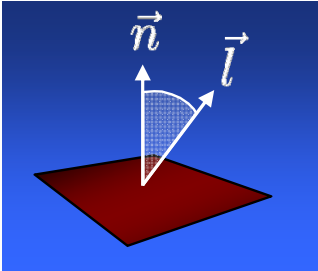
33



Konstanter Term

Abhängig vom Einfallswinkel des Lichts

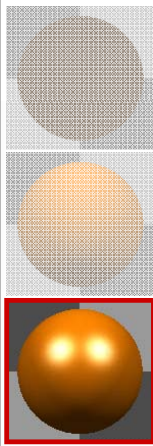
- gleichmäßige Reflexion in alle Richtungen
- matte Oberflächen
- „Lambert'sche“ Reflexion



Andreas Kolb, Martin Lambers Visualisierung

## Spiegelnde Reflexion

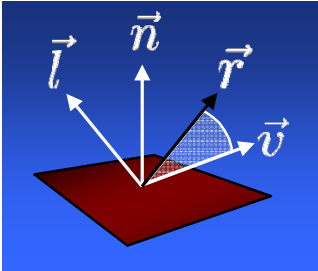
34



Konstanter Term

Abhängig vom Einfallswinkel des Lichts

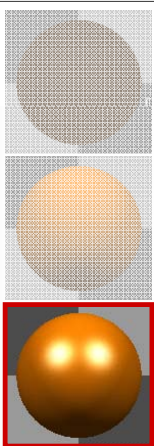
Abhängig vom Lichtrichtung und Blickrichtung



Andreas Kolb, Martin Lambers Visualisierung

## Spiegelnde Reflexion

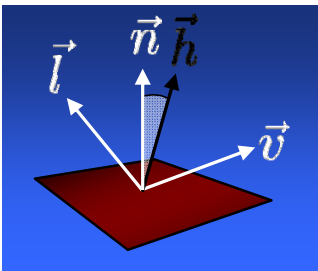
35



Konstanter Term

Abhängig vom Einfallswinkel des Lichts

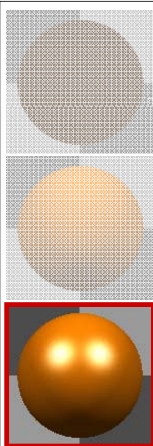
Abhängig vom Lichtrichtung und Blickrichtung



Andreas Kolb, Martin Lambers Visualisierung

## Spiegelnde Reflexion

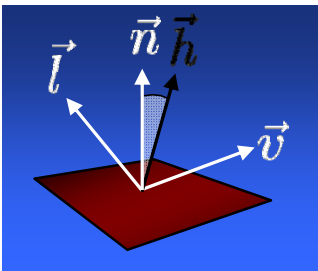
36



Konstanter Term

Abhängig vom Einfallswinkel des Lichts

Abhängig vom Lichtrichtung und Blickrichtung



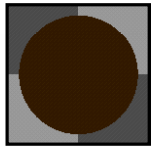
- glänzende Flächen
- Spiegelnde Reflexion
- „Specular Highlights“

Andreas Kolb, Martin Lambers Visualisierung

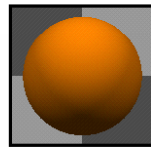
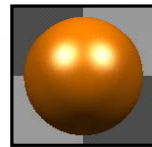
## Lokale Beleuchtung

37

### Blinn-Phong Beleuchtungsmodell:



ambient

diffuse  
(Lambert)spekular  
(spiegelnd)

$$I = I_a + I_d (\vec{n} \circ \vec{l}) + I_s (\vec{n} \circ \vec{h})^r$$

- Wie bestimme ich die Oberflächennormale ?

Andreas Kolb, Martin Lambers

Visualisierung

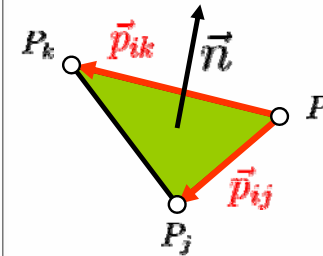
## Oberflächennormale

38

- Die Normale für ein einzelnes Dreieck:

$$\vec{p}_{ij} = P_j - P_i$$

$$\vec{p}_{ik} = P_k - P_i$$



Das normalisierte  
Kreuzprodukt ergibt  
den Normalenvektor

$$\vec{n} = \frac{\vec{p}_{ij} \times \vec{p}_{ik}}{\|\vec{p}_{ij} \times \vec{p}_{ik}\|}$$

Andreas Kolb, Martin Lambers

Visualisierung

## Surface Plots

39

### flat shading:

Bestimme einen  
Normalenvektor  
für jedes Dreieck



OpenGL Beispiel:

```
00  glBegin(GL_TRIANGLES);
01  glNormal3d(nx, ny, nz);
02  glVertex3d(x[i], y[i], z[i]);
03  glVertex3d(x[j], y[j], z[j]);
04  glVertex3d(x[k], y[k], z[k]);
05  glEnd();
```

Andreas Kolb, Martin Lambers

Visualisierung

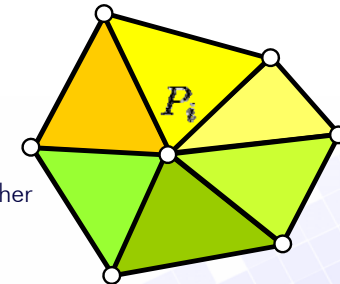
## Surface Plots

40

### smooth shading:

Bestimme einen  
Normalenvektor  
für jeden Vertex

- Betrachte den Dreiecksfächer um den Punkt  $P_i$
- Bestimme die Normalenvektoren für alle Dreiecke
- Der Normalenvektor der Punktes  $P_i$  ergibt sich als Mittelwert der Normalen der angrenzenden Dreiecke



Andreas Kolb, Martin Lambers

Visualisierung

## Surface Plots

41

### smooth shading:

Bestimme einen  
Normalenvektor  
für jeden Vertex



```

00  glShadeModel(GL_SMOOTH);
01
02  glBegin(GL_TRIANGLES);
03      glNormal3d(nx[i], ny[i], nz[i]);
04      glVertex3d(x[i], y[i], z[i]);
03      glNormal3d(nx[j], ny[j], nz[j]);
05      glVertex3d(x[j], y[j], z[j]);
03      glNormal3d(nx[k], ny[k], nz[k]);
06      glVertex3d(x[k], y[k], z[k]);
07  glEnd();

```

Andreas Kolb, Martin Lambers

Visualisierung

## Zusammenfassung

42

### Surface Plots / Oberflächendarstellung

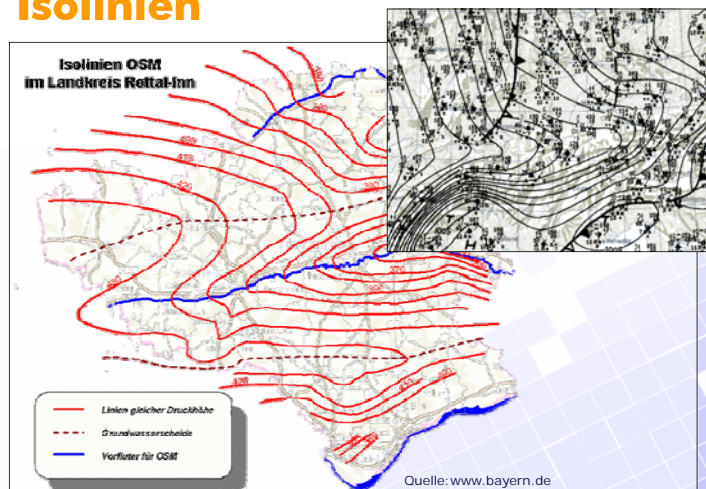
- Interpretiere den Skalarwert als Höhenwert und zeichne eine 3D Fläche
- Liniendarstellung:  
wireframe und hidden lines
- Flächendarstellung mit Beleuchtung:
  - benötigt Normalenvektoren
  - Normalenvektor pro Dreieck (*flat shading*)
  - Normalenvektor pro Vertex (*smooth, Gouraud shading*)

Andreas Kolb, Martin Lambers

Visualisierung

## Isolinien

43



Andreas Kolb, Martin Lambers

Visualisierung

## Definition

44

- Für ein gegebenes Skalarfeld  $f : \mathbb{R}^2 \mapsto \mathbb{R}$  und einen Skalarwert  $c \in \mathbb{R}$  entspricht die Menge
 
$$\{(x, y) \mid f(x, y) = c\}$$
 einer Isolinie.
- Falls  $f$  differenzierbar ist und  $\text{grad}(f) \neq 0$ , dann sind die Isolinien *Kurven*.
- Falls  $\text{grad}(f) = 0$ , können die Isolinien auch *Flächen* und *Punkte* sein.

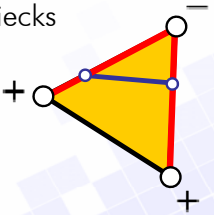
Andreas Kolb, Martin Lambers

Visualisierung

### Isolinien 45

**Sequentieller Ansatz** (cell-order approach):

- Betrachte jede Zelle separat
- Markiere alle Vertices des Dreiecks
  - mit + wenn  $f_i > c$
  - mit - wenn  $f_i \leq c$
- Untersuche alle Kanten mit Vorzeichenwechsel
- Interpoliere Schnittpunkte entlang der Kanten
- Verbinde die Schnittpunkte durch Liniensegmente

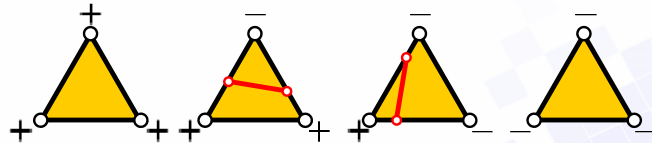


Andreas Kolb, Martin Lambers Visualisierung

### Isolinien für Dreiecksgitter 46

Für dreieckige Zellen:

- entweder keine oder zwei Kanten mit Vorzeichenwechsel



Kein Schnittpunkt	2 Schnittpunkte 1 Liniensegment	2 Schnittpunkte 1 Liniensegment	Kein Schnittpunkt
----------------------	------------------------------------	------------------------------------	----------------------

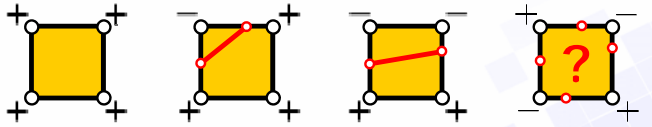
(symmetrische Fälle wurden weggelassen)

Andreas Kolb, Martin Lambers Visualisierung

### Isolinien für Rechtecksgitter 47

Für rechteckige Zellen:

- entweder keine, zwei oder vier Kanten mit Vorzeichenwechsel



Kein Schnittpunkt	2 Schnittpunkte 1 Liniensegment	2 Schnittpunkte 1 Liniensegment	4 Schnittpunkte 2 Liniensegment MEHRDEUTIG
----------------------	------------------------------------	------------------------------------	--

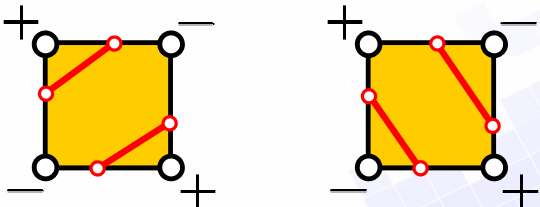
(symmetrische und invertierte Fälle wurden weggelassen)

Andreas Kolb, Martin Lambers Visualisierung

### Isolinien für Rechtecksgitter 48

Mehrdeutigkeit:

- vier Kanten mit Vorzeichenwechsel
- 2 mögliche Konfigurationen:



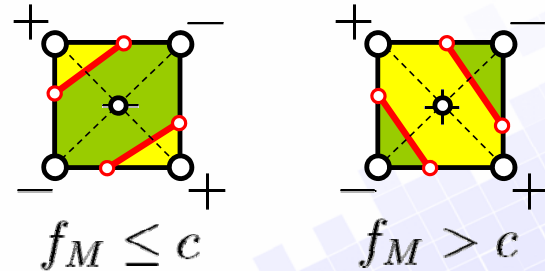
Verwende einen „Decider“ um zu entscheiden welche Konfiguration vorliegt.

Andreas Kolb, Martin Lambers Visualisierung

## Isolinien für Rechtecksgitter 49

### ● Midpoint Decider

Interpoliere den Skalarwert im Mittelpunkt des Rechtecks:



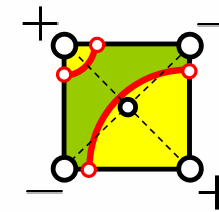
Andreas Kolb, Martin Lambers

Visualisierung

## Isolinien für Rechtecksgitter 50

### ● Midpoint Decider

*Schwachpunkt des Midpoint Deciders:*  
Isolinien sind keine Geraden, sondern Kurven



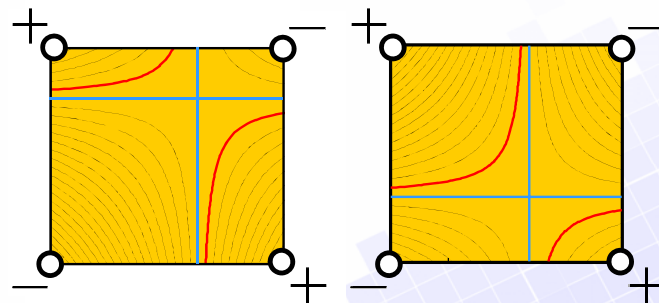
- Hier ist  $f_M > c$ , obwohl der Mittelbereich negativ ist

Andreas Kolb, Martin Lambers

Visualisierung

## Isolinien 51

Bei bilinearer Interpolation innerhalb der Zelle sind die Isolinien Parabelbögen



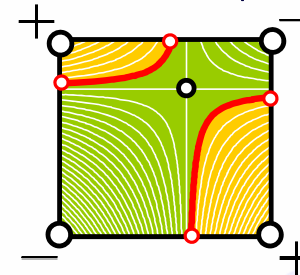
Andreas Kolb, Martin Lambers

Visualisierung

## Isolinien für Rechtecksgitter 52

### ● Asymptotic Decider

Bestimme den Skalarwert nicht am Mittelpunkt, sondern am *Schnittpunkt der Asymptoten*



- Der Schnittpunkt der Asymptoten liegt immer innerhalb des Mittelbereichs

Andreas Kolb, Martin Lambers

Visualisierung

## Isolinien für Rechtecksgitter 53

### Asymptotic Decider

Stelle die Interpolationsfunktion auf:

$$f(x, y) = f_{00}(1-x)(1-y) + f_{10}x(1-y) + f_{01}(1-x)y + f_{11}xy$$

Gradient verschwindet am Asymptoten-Schnittpunkt

$$\frac{\partial f}{\partial x}(x, y) = (1-y)(f_{10} - f_{00}) + y(f_{11} - f_{01}) = 0$$

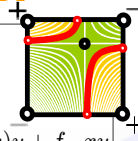
$$\frac{\partial f}{\partial y}(x, y) = (1-x)(f_{01} - f_{00}) + x(f_{11} - f_{10}) = 0$$

$$(x_0, y_0) = \left( \frac{f_{00} - f_{01}}{f_{00} + f_{11} - f_{10} + f_{01}}, \frac{f_{00} - f_{10}}{f_{00} + f_{11} - f_{10} + f_{01}} \right)$$

und  $f(x_0, y_0) = \frac{f_{00}f_{11} + f_{10}f_{01}}{f_{00} + f_{11} - f_{10} + f_{01}}$

Andreas Kolb, Martin Lambers

Visualisierung



## Isolinien 54

Nachteile des *sequentiellen Ansatzes*:

- Jeder Vertex der Isolinie und jede Kante des Gitters wird zweimal bearbeitet
- Das Ergebnis ist eine ungeordnete Folge von Liniensegmenten. Diese müssen erst sortiert werden um Polygonzüge zu erhalten.

➔ **Contour Tracing**

Andreas Kolb, Martin Lambers

Visualisierung

## Contour Tracing 55

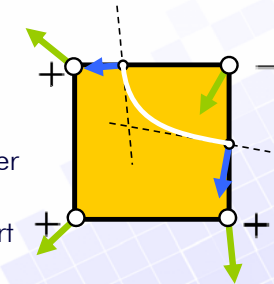
- Markiere alle Zellen mit Vorzeichenwechsel
- Solange es noch markierte Zellen gibt:
  - Finde die Isoline innerhalb dieser Zelle
  - Solange die Isolinie nicht geschlossen ist und der Rand des Datensatzes nicht erreicht ist:
    - Folge der Isolinie in die Nachbarzelle
    - Entferne die Markierung (außer die Zelle enthält 4 Schnittpunkte)

Andreas Kolb, Martin Lambers

Visualisierung

## Isolinien geglättet 56

- Bestimme die Gradientenvektoren an den Vertices
- Interpoliere die Gradientenvektoren an den Schnittpunkten
- Bestimme Tangenten an den Schnittpunkten (senkrecht auf Grad.)
- Zeichne einen Bogen, der an den Schnittpunkten die Tangenten interpoliert

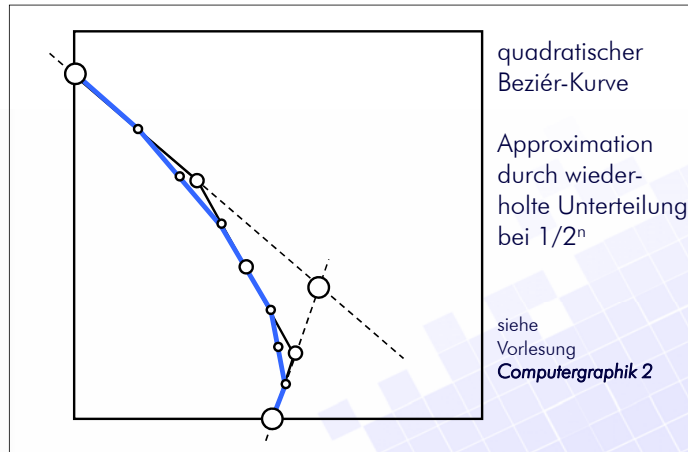


Andreas Kolb, Martin Lambers

Visualisierung

## Isolinien (Subdivision)

57

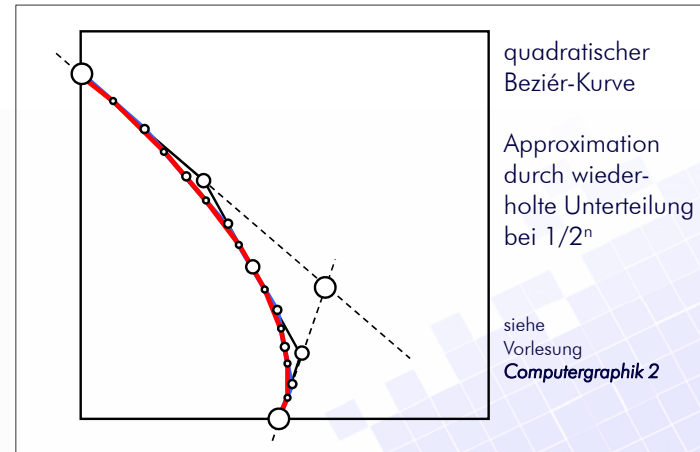


Andreas Kolb, Martin Lambers

Visualisierung

## Isolinien (Subdivision)

58



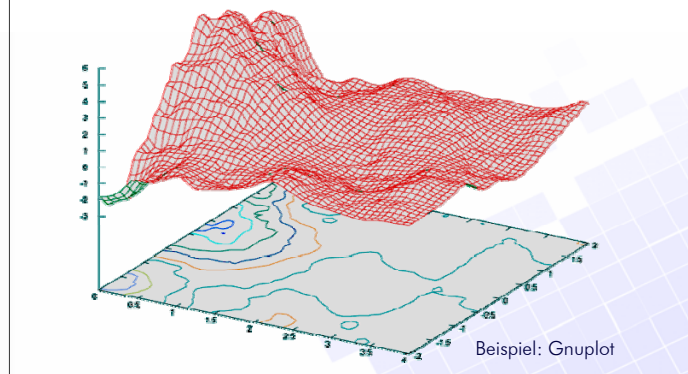
Andreas Kolb, Martin Lambers

Visualisierung

## Kombination

59

### ● Isolinien + Surface Plot



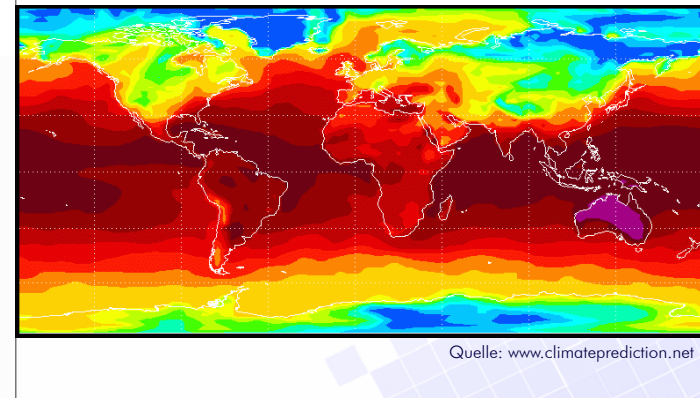
Andreas Kolb, Martin Lambers

Visualisierung

## Kombination

60

### ● Farbkodierung + Isolinien



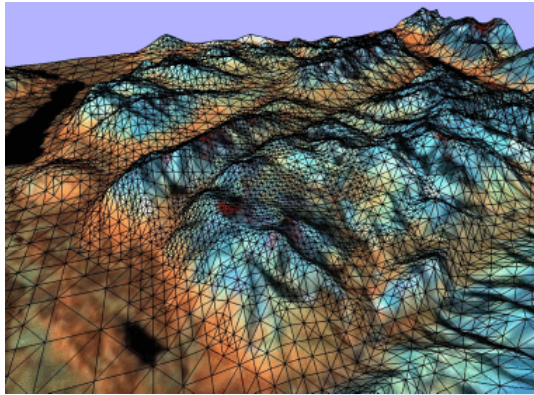
Andreas Kolb, Martin Lambers

Visualisierung

## Kombinationen

61

- Farbkodierung + Surface Plot



Andreas Kolb, Martin Lambers

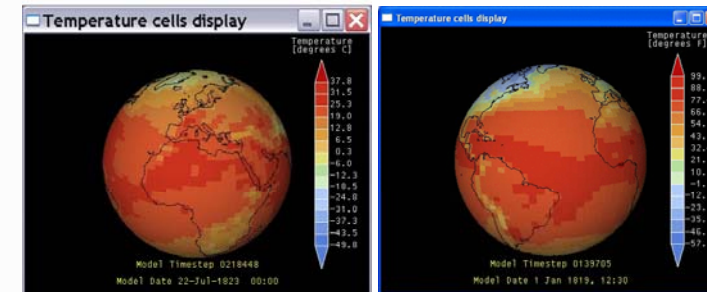
Visualisierung

## Zeitabhängige Skalarfelder

62

### Animation

- Zeitliche Änderung der Temperaturverteilung



Quelle: www.climateprediction.net

Andreas Kolb, Martin Lambers

Visualisierung

## Zusammenfassung

63

### 2D Skalarfelder:

- Skalarwert gegeben über einem beliebigen 2D Definitionsbereich  
(z.B. Ebene, Kugeloberfläche, beliebige Oberfläche in 3D)



Andreas Kolb, Martin Lambers

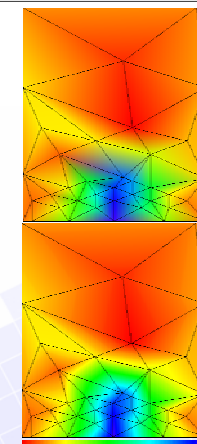
Visualisierung

## Zusammenfassung

64

### Farbkodierung

- Spezifiziere Farbtabelle  
(Transferfunktion)
- Rasterisierungstechniken:
  - Schnell und einfach:**  
Lookup an den Vertices +  
Farbinterpolation pro Pixel
  - Genauer:**  
Skalarwert-Interpolation pro Pixel +  
Lookup in Bildschirmauflösung



Andreas Kolb, Martin Lambers

Visualisierung

## Zusammenfassung

65

### Oberflächendarstellung:

- Linienbasiert
  - Wireframe
  - Hidden Lines (erfordert Verdeckungsrechnung)
- Beleuchtete Oberflächen (Shaded Surface)
  - **Flat-Shading:** Normalenberechnung pro Fläche
  - **Gouraud-Shading:** Normalenberechnung pro Vertex



Andreas Kolb, Martin Lambers

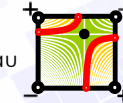
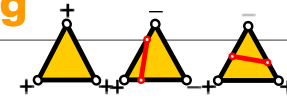
Visualisierung

## Zusammenfassung

66

### Isolinien:

- Sequentieller Ansatz (cell-order approach)
  - Untersuche ob Isolinie die Zelle schneidet
  - Bestimme entsprechendes Liniensegment
- Für rektilineare Zellen: Mehrdeutigkeit erfordert „Decider“:
  - Midpoint Decider: einfach aber ungenau
  - Asymptotic Decider: genauer
- Contour-Tracing: besser als sequentiell
- Glatte Isoflächen: Gradientenbestimmung



Andreas Kolb, Martin Lambers

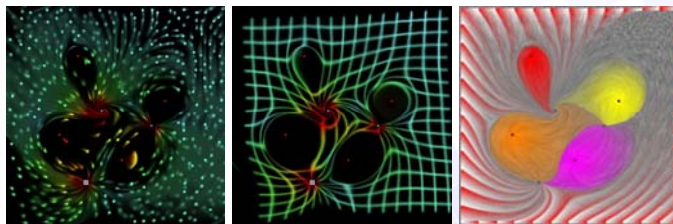
Visualisierung

## Nächste Stunde

67

### 2D Vektorfelder

- Differenzieren auf Vektorfeldern
- Integration von Partikelbahnen



Quelle: Jarke v. Wijk, Technische Universität Eindhoven, SIGGRAPH 2003

Andreas Kolb, Martin Lambers

Visualisierung